

doi: 10.3978/j.issn.2095-6959.2022.09.002

View this article at: https://dx.doi.org/10.3978/j.issn.2095-6959.2022.09.002

沉默 lncRNA THAP9-AS1 对乳腺癌细胞增殖、凋亡、迁移及侵袭的影响

王枝红¹, 刘红¹, 何楠¹, 杨海松²

(1. 贵州省肿瘤医院乳腺外科, 贵阳 550003; 2. 贵州医科大学附属医院乳腺外科, 贵阳 550004)

[摘要] 目的: 探讨沉默长链非编码RNA THAP9反义RNA1(lncRNA THAP9-AS1)对乳腺癌细胞增殖、凋亡、迁移及侵袭的影响。方法: 选取贵州省肿瘤医院2017年6月至2020年6月25例乳腺癌患者的癌组织及癌旁组织, 采用实时荧光定量PCR(real-time quantitative polymerase chain reaction, RT-qPCR)检测lncRNA THAP9-AS1和miR-505-3p表达水平。将MDA-MB-231细胞随机分为si-THAP9-AS1组、si-NC组、miR-505-3p组、miR-NC组、si-THAP9-AS1+anti-miR-NC组、si-THAP9-AS1+miR-505-3p inhibitor组。采用四甲基偶氮唑盐比色(methyl thiazolyl tetrazolium, MTT)法检测细胞活性, 平板克隆实验检测细胞集落形成数, 流式细胞术实验检测细胞凋亡, 划痕实验和Transwell检测细胞迁移及侵袭, 双荧光素酶报告实验检测lncRNA THAP9-AS1和miR-505-3p的靶向关系。结果: 与癌旁组织相比, 乳腺癌组织中lncRNA THAP9-AS1的表达水平升高, miR-505-3p的表达水平降低($P<0.05$)。沉默lncRNA THAP9-AS1或过表达miR-505-3p可降低细胞活性及迁移距离, 减少集落形成数和侵袭细胞数, 增加细胞凋亡率, 增加E-cadherin蛋白表达水平升高, 并降低N-cadherin蛋白表达水平($P<0.05$)。lncRNA THAP9-AS1靶向调控miR-505-3p; 抑制miR-505-3p逆转了沉默lncRNA THAP9-AS1对MDA-MB-231增殖、迁移及侵袭的影响。结论: 沉默lncRNA THAP9-AS1可通过增加miR-505-3p抑制乳腺癌细胞增殖、迁移及侵袭, 并抑制凋亡。

[关键词] THAP9-AS1; miR-505-3p; 乳腺癌; 增殖; 迁移; 侵袭

Effect of silencing lncRNA THAP9-AS1 on the proliferation, apoptosis, migration and invasion of breast cancer cells

WANG Zhihong¹, LIU Hong¹, HE Nan¹, YANG Haisong²

(1. Department of Breast Surgery, Guizhou Cancer Hospital, Guiyang 550003; 2. Department of Breast Surgery, Affiliated Hospital of Guizhou Medical University, Guiyang 550004, China)

Abstract **Objective:** To explore the effect of silencing lncRNA THAP9-AS1 on the proliferation, apoptosis, migration and invasion of breast cancer cells. **Methods:** The cancer tissues and adjacent tissues were collected from 25 breast cancer patients at Guizhou Cancer Hospital from June 2017 to June 2020. The expression levels of lncRNA THAP9-AS1 and miR-505-3p were detected by real-time quantitative polymerase chain reaction (RT-qPCR). MDA-MB-231

收稿日期 (Date of reception): 2022-02-24

通信作者 (Corresponding author): 杨海松, Email: Yanghaisong609@sina.com

cells were randomly divided into the si-THAP9-AS1 group, the si-NC group, the miR-505-3p group, the miR-NC group, the si-THAP9-AS1 + anti-miR-NC group, and the si-THAP9-AS1 + miR-505-3p inhibitor group. Cell activity was detected by methyl thiazolyl tetrazolium (MTT) method; cell colony formation was detected by plate cloning assay; cell apoptosis was detected by flow cytometry assay; cell migration and invasion were detected by scratching assay and Transwell assay; dual luciferase reporting assay was used to detect the targeting relationship between lncRNA THAP9-AS1 and miR-505-3p. **Results:** The expression level of lncRNA THAP9-AS1 was increased in breast cancer tissues compared with adjacent tissues, while the expression level of miR-505-3p was decreased ($P < 0.05$). Silencing lncRNA THAP9-AS1 or miR-505-3p overexpression could inhibit cell viability and migration, decrease the number of colonies and invaded cells, increase the rate of apoptosis and the protein level of E-cadherin, and reduce the protein level of N-cadherin ($P < 0.05$). Moreover, lncRNA THAP9-AS1 targeted miR-505-3p, and inhibition of miR-505-3p reversed the effects of lncRNA THAP9-AS1 silence on the proliferation, migration and invasion of MDA-MB-231 cells. **Conclusion:** Silencing lncRNA THAP9-AS1 can inhibit the proliferation, migration and invasion and promote apoptosis of breast cancer cells by up-regulating miR-505-3p.

Keywords THAP9-AS1; miR-505-3p; breast cancer; proliferation; migration; invasion

乳腺癌是全世界成年女性中最常见的癌症, 随着对乳腺癌发病机制认识的加深, 分子靶向治疗成为乳腺癌治疗的新方式^[1-2]。研究^[3]表明: lncRNA在乳腺癌的进展和转移中具有重要作用, 有望成为乳腺癌诊断的预后生物标志物。lncRNA BCRT1通过靶向miR-1303/PTBP3轴促进乳腺癌的生长和转移^[4]。lncRNA DLEU1在乳腺癌中高表达, 通过靶向miR-300/RAB22A促进乳腺癌细胞及迁移侵袭^[5]。研究^[6]发现: 在胃癌组织中, lncRNA THAP9-AS1高表达, 上调lncRNA THAP9-AS1可促进胃癌细胞增殖和迁移。而lncRNA THAP9-AS1对乳腺癌细胞的研究尚不清楚。lncRNA DLX6-AS1通过miR-505-3p/RUNX2轴促进乳腺癌的增殖和侵袭^[7]。骨转移性前列腺癌组织中miR-505-3p明显下调, miR-505-3p的上调抑制了前列腺癌细胞的侵袭和迁移能力^[8]。然而lncRNA THAP9-AS1与miR-505-3p调控作用对乳腺癌的进展尚不清楚。因此, 本研究拟探究lncRNA THAP9-AS1通过调控miR-505-3p对乳腺癌细胞增殖、凋亡、迁移及侵袭的影响。

1 材料与方法

1.1 材料

1.1.1 标本来源

选取2017年6月至2020年6月贵州省肿瘤医院收治的25例乳腺癌患者的癌组织及癌旁组织(距离组织>3 cm), 患者年龄39~62(45.54±6.88)岁; 淋巴结转移13例, 无淋巴结转移12例, 且术前均未进

行过放疗、化疗。本研究经贵州省肿瘤医院医学伦理委员会批准同意(审批号: 201705-16), 患者均签署知情同意书。

1.1.2 主要试剂

MDA-MB-231细胞株购自上海奥陆生物科技有限公司; TRIzol试剂购自美国Genmed公司; 实时荧光定量PCR试剂盒购自天根生化科技(北京)有限公司; RPMI-1640培养基购自上海雅吉生物科技有限公司; 总蛋白提取试剂盒购自大连美仑生物技术有限公司; 四甲基偶氮唑盐比色(methyl thiazolyl tetrazolium, MTT)试剂盒购自上海晶抗生物工程有限公司; 双荧光素酶报告基因检测试剂盒购自美国BioAssay Systems公司; Transwell小室、Matrigel购自美国Corning公司。

1.2 方法

1.2.1 细胞处理与分组

使用RPMI-1640培养基培养MDA-MB-231细胞, 将si-NC、si-THAP9-AS1、miR-NC、miR-505-3p mimic转染至MDA-MB-231细胞中, 记为si-NC组、si-THAP9-AS1组、miR-505-3p组、miR-NC组; 将si-THAP9-AS1分别与anti-miR-NC、miR-505-3p inhibitor转染至细胞, 记为si-THAP9-AS1+anti-miR-NC组、si-THAP9-AS1+miR-505-3p inhibitor组。细胞转染6 h后更换细胞培养基, 然后按照Lipofectamine 3000试剂盒操作进行。

1.2.2 实时荧光定量PCR法检测lncRNA THAP9-AS1和miR-505-3p的表达水平

提取乳腺癌组织、癌旁组织及细胞总RNA, 合

成cDNA后进行PCR, 相对表达量用 $2^{-\Delta\Delta Ct}$ 法计算。以GAPDH和U6为内参, lncRNA THAP9-AS1正向引物序列为5'-ACTGGCTGCTATGGAAAAAGT-3', 反向引物序列为5'-TCCCTTCCCCTCCTGTCTGC-3'; GAPDH正向引物序列为5'-GCACCGTCAAGGCTGAGAAC-3', 反向引物序列为5'-ATGGTGGTGAAGACGCCAGT-3'。miR-505-3p正向引物序列为5'-CTACGTGGTCCACCCCTC-3', 反向引物序列为5'-CCAAAGGAGACCTCGTAGT-3'; U6正向引物序列为5'-CTCGCTTCGGCAGCAC-3', 反向引物序列为5'-AACGCTTCACGAATTTGCGT-3'。

1.2.3 MTT 法检测细胞增殖活性

各组细胞培养24 h、48 h、72 h时, 加MTT溶液, 继续孵育4 h后, 加入DMSO溶液, 用酶标仪检测490 nm处吸光度(OD)值。

1.2.4 平板克隆实验检测细胞集落形成数

将各组细胞接种于6孔板中, 培养2周后看到克隆形成后, 用吉姆萨染色30 min, 在低倍光学显微镜下计数>50个细胞。

1.2.5 划痕实验检测细胞迁移距离

取各组对数生长期细胞, 在6孔培养板上接种培养(每孔中接种 2×10^5 个/mL), 用10 μ L枪头在细胞表面划痕, 换液后继续培养, 在0 h和24 h时分别拍照观察, 计算划痕距离。

1.2.6 Transwell 检测细胞侵袭

在Transwell小室上室加入Matrigel胶, 十字摇匀, 凝固后加100 μ L无血清悬浮的细胞, 培养24 h, 用结晶紫染色30 min, PBS漂洗并干燥后, 用光学显微镜)随机选择5个视野拍照并计数。

1.2.7 流式细胞术检测细胞凋亡

取各组细胞使用预冷PBS冲洗细胞, 然后将

细胞沉淀物加结合缓冲液中, 根据凋亡试剂盒说明书步骤, 加Annexin V-FITC与PI试剂, 避光反应15 min, 上流式细胞仪检测细胞凋亡情况。

1.2.8 蛋白质印迹法检测蛋白表达

提取细胞总蛋白质, 进行SDS-PAGE, 转膜, 用5%的脱脂奶粉封闭; 加入E-cadherin、N-cadherin(稀释1:800)、GAPDH(稀释1:2 500)一抗4 $^{\circ}$ C过夜, 加入二抗(稀释1:5 000)室温培养2 h, 加ECL化学试剂用于显影, Image-Pro Plus分析蛋白质条带的灰度水平, 计算蛋白相对表达水平。

1.2.9 双荧光素酶报告实验

构建lncRNA THAP9-AS1的野生型和突变型荧光素酶载体(wt-THAP9-AS1、mut-THAP9-AS1)。收集MDA-MB-231细胞并接种24孔板上, 细胞融合度达到80%, 分别与miR-NC和miR-505-3p共转染至细胞中, 转染48 h后收集细胞, 按照试剂盒说明检测荧光素酶活性。

1.3 统计学处理

采用SPSS 20.0统计学软件进行数据分析, 计量资料以均数 \pm 标准差($\bar{x} \pm s$)表示, 两组比较行t检验。以 $P < 0.05$ 为差异有统计学意义。

2 结果

2.1 lncRNA THAP9-AS1 和 miR-505-3p 在乳腺癌组织中的表达

与癌旁组织相比, lncRNA THAP9-AS1的表达在乳腺癌组织中升高, miR-505-3p的表达水平下降($P < 0.05$, 图1)。

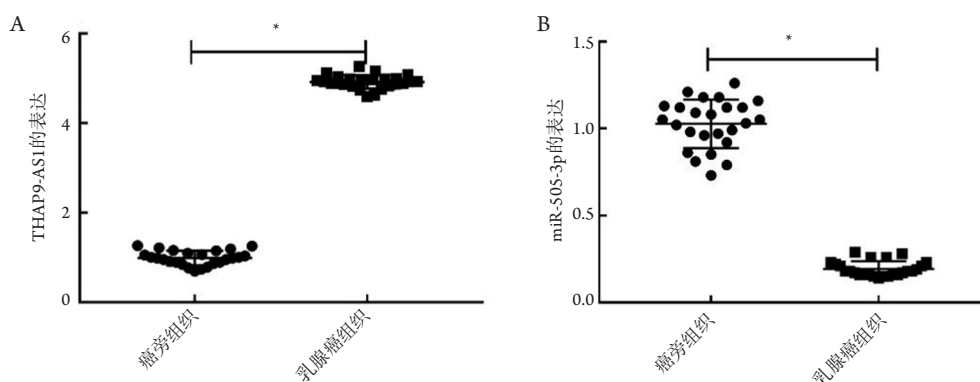


图1 lncRNA THAP9-AS1和miR-505-3p的表达

Figure 1 Expression of lncRNA THAP9-AS1 and miR-505-3p

(A) lncRNA THAP9-AS1的表达; (B) miR-505-3p的表达。与癌旁组织比较, $*P < 0.05$ 。

(A) Expression of lncRNA THAP9-AS1; (B) Expression of miR-505-3p. Compared with paracancer tissue, $*P < 0.05$.

2.2 沉默 lncRNA THAP9-AS1 对 MDA-MB-231 增殖、凋亡、迁移及侵袭的影响

与 si-NC 组相比, si-THAP9-AS1 组 THAP9-AS1 表达水平、细胞活性、迁移距离降低, miR-505-3p 的表达水平升高, 集落形成数及侵袭细胞数减少, 凋亡率、E-cadherin 表达水平升高, N-cadherin 表达水平降低 ($P < 0.05$; 图 2、3, 表 1)。

2.3 lncRNA THAP9-AS1 和 miR-505-3p 靶向关系验证

Starbase 预测 lncRNA THAP9-AS1 和 miR-505-3p 存在相互结合序列 (图 4)。与 miR-NC 相比, miR-505-3p 组中 wt-THAP9-AS1 细胞荧光素酶活性降低 ($P < 0.05$); 而 mut-THAP9-AS1 与 miR-505-3p 共转染后的细胞荧光素酶活性相较于与 miR-NC 共转染的细胞无显著差异 ($P > 0.05$, 表 2)。

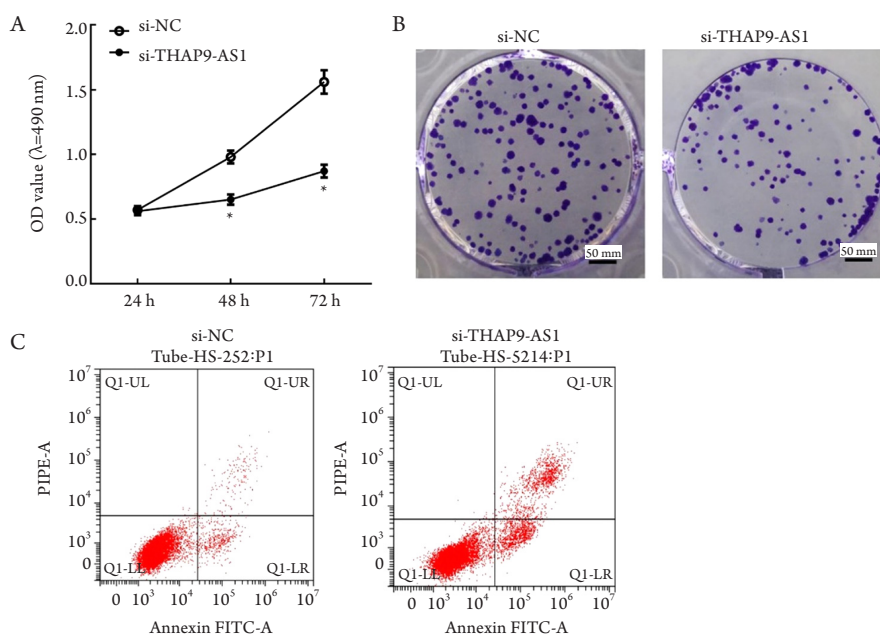


图2 沉默 lncRNA THAP9-AS1 对 MDA-MB-231 细胞活性和凋亡的影响

Figure 2 Effect of silencing lncRNA THAP9-AS1 on the activity and apoptosis of MDA-MB-231 cells

(A) 沉默 lncRNA THAP9-AS1 对 MDA-MB-231 细胞活性的影响; (B) 沉默 lncRNA THAP9-AS1 对 MDA-MB-231 细胞克隆形成的影响 (吉姆萨染色, $\times 50$); (C) 沉默 lncRNA THAP9-AS1 对 MDA-MB-231 细胞凋亡的影响。与 si-NC 组相比, $*P < 0.05$ 。

(A) Effect of silencing lncRNA THAP9-AS1 on the activity of MDA-MB-231 cells; (B) Effect of silencing lncRNA THAP9-AS1 on the clone formation of MDA-MB-231 cells (Giemsa staining, $\times 50$); (C) Effect of silencing lncRNA THAP9-AS1 on the apoptosis of MDA-MB-231 cells. Compared with si-NC group, $*P < 0.05$.

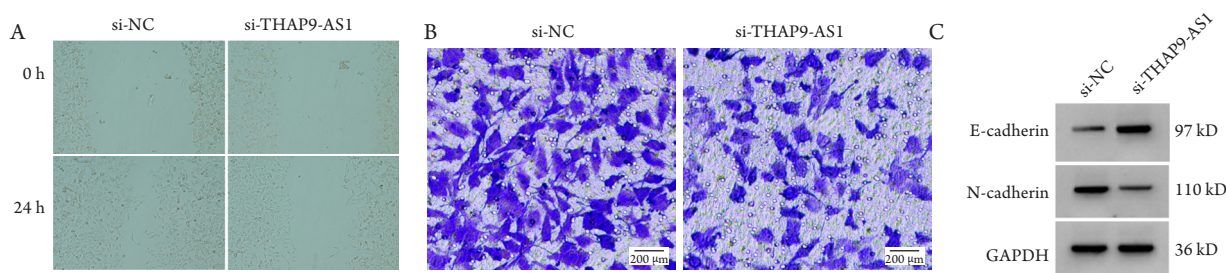


图3 沉默 lncRNA THAP9-AS1 对 MDA-MB-231 细胞迁移侵袭及 E-cadherin、N-cadherin 蛋白表达的影响

Figure 3 Effect of silencing lncRNA THAP9-AS1 on MDA-MB-231 cell migration and invasion, and E-cadherin and N-cadherin protein expression

(A) 沉默 lncRNA THAP9-AS1 对 MDA-MB-231 细胞迁移的影响 ($\times 100$); (B) 沉默 lncRNA THAP9-AS1 对 MDA-MB-231 细胞侵袭的影响 (结晶紫染色, $\times 200$); (C) 沉默 lncRNA THAP9-AS1 对 MDA-MB-231 细胞 E-cadherin、N-cadherin 蛋白表达的影响。

(A) Effect of silencing lncRNA THAP9-AS1 on MDA-MB-231 cell migration; (B) Effect of silencing lncRNA THAP9-AS1 on MDA-MB-231 cell invasion (crystal violet staining, $\times 200$); (C) Effect of silencing lncRNA THAP9-AS1 on E-cadherin and N-cadherin protein expression in MDA-MB-231 cell.

表1 沉默lncRNA THAP9-AS1对MDA-MB-231集落形成、凋亡、迁移及侵袭的影响($n=3$)Table 1 Effects of silencing lncRNA THAP9-AS1 on colony formation, apoptosis, migration and invasion of MDA-MB-231 ($n=3$)

组别	THAP9-AS1	miR-505-3p	集落形成数/个	迁移距离/ μm	侵袭细胞数/个	E-cadherin	N-cadherin	凋亡率/%
si-NC组	1.00 \pm 0.00	1.00 \pm 0.00	137.33 \pm 3.86	181.00 \pm 10.68	156.67 \pm 6.34	0.20 \pm 0.02	0.68 \pm 0.05	6.99 \pm 0.72
si-THAP9-AS1组	0.26 \pm 0.02*	4.07 \pm 0.08*	75.67 \pm 1.70*	93.82 \pm 3.81*	88.33 \pm 2.05*	0.82 \pm 0.07*	0.21 \pm 0.02*	19.47 \pm 2.54*
<i>t</i>	64.086	66.467	25.321	13.317	17.765	14.751	15.117	8.188
<i>P</i>	<0.001	<0.001	<0.001	<0.001	<0.001	<0.001	<0.001	<0.001

与si-NC组相比, * $P<0.05$ 。

Compared with si-NC group, * $P<0.05$.

```

wt-THAP9-AS1  5'  CUGUGACUACUCA--UGUUGACU  3'
miR-505-3p    3'  UCCUUUGGUCGUUCACAACUGC  5'
mut-THAP9-AS1 5'  CUGUGACUACUCA--CCAGCGGU  3'

```

图4 lncRNA THAP9-AS1和miR-505-3p互补序列

Figure 4 Complementary sequence of lncRNA THAP9-AS1 and miR-505-3p

表2 双荧光素酶报告实验($n=3$)Table 2 Double luciferase report experiment ($n=3$)

组别	wt-THAP9-AS1	mut-THAP9-AS1
miR-NC组	1.01 \pm 0.10	1.03 \pm 0.09
miR-505-3p组	0.29 \pm 0.02*	1.05 \pm 0.07
<i>t</i>	12.229	0.304
<i>P</i>	<0.001	0.776

与miR-NC组相比, * $P<0.05$ 。

Compared with miR-NC group, * $P<0.05$.

表3 miR-505-3p对MDA-MB-231集落形成、凋亡、迁移及侵袭的影响($n=3$)Table 3 Effects of miR-505-3p on colony formation, apoptosis, migration and invasion of MDA-MB-231 ($n=3$)

组别	miR-505-3p	集落形成数/个	迁移距离/ μm	侵袭细胞数/个	E-cadherin	N-cadherin	凋亡率/%
miR-NC组	1.00 \pm 0.00	138.67 \pm 4.03	185.43 \pm 8.54	156.33 \pm 6.60	0.20 \pm 0.02	0.68 \pm 0.05	7.22 \pm 0.35
miR-505-3p组	5.32 \pm 0.11*	65.33 \pm 2.05*	77.63 \pm 3.33*	69.00 \pm 1.41*	0.92 \pm 0.06*	0.13 \pm 0.01*	20.33 \pm 2.11*
<i>t</i>	7.438	28.095	20.370	22.412	19.718	18.683	10.617
<i>P</i>	0.002	<0.001	<0.001	<0.001	<0.001	<0.001	<0.001

与miR-NC组相比, * $P<0.05$ 。

Compared with miR-NC group, * $P<0.05$.

2.4 miR-505-3p对MDA-MB-231细胞增殖、凋亡、迁移及侵袭的影响

与miR-NC组相比, miR-505-3p组miR-505-3p的表达水平、凋亡率、E-cadherin表达水平升高, N-cadherin表达水平降低, 细胞活性、迁移距离降低, 集落形成数和侵袭细胞数减少($P<0.05$; 表3, 图5、6)。

2.5 抑制miR-505-3p可以逆转沉默lncRNA THAP9-AS1处理的MDA-MB-231增殖、凋亡、迁移及侵袭的影响

与si-THAP9-AS1+anti-miR-NC组相比, si-THAP9-AS1+miR-505-3p inhibitor组miR-505-3p的表达水平降低, 细胞活性、迁移距离、N-cadherin表达水平增加, 集落形成数和侵袭细胞数增加, 凋亡率、E-cadherin表达水平降低($P<0.05$; 图7、8, 表4)。

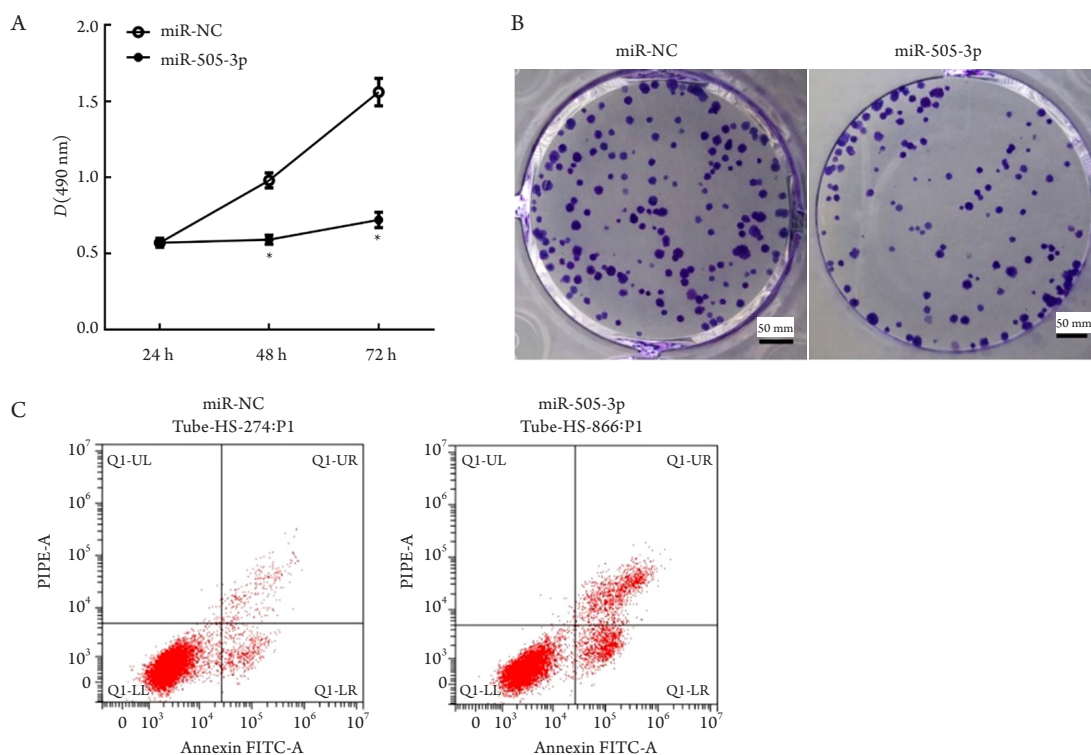


图5 MiR-505-3p对MDA-MB-231细胞活性和凋亡的影响

Figure 5 Effect of miR-505-3p on the activity and apoptosis of MDA-MB-231 cells

(A) MiR-505-3p对MDA-MB-231细胞活性的影响; (B) MiR-505-3p对MDA-MB-231细胞克隆形成的影响(吉姆萨染色, × 50); (C) MiR-505-3p对MDA-MB-231细胞凋亡的影响。与miR-NC组相比, *P<0.05。

(A) Effect of miR-505-3p on the activity of MDA-MB-231 cells; (B) Effect of miR-505-3p on the clone formation of MDA-MB-231 cells (Giemsa staining, × 50); (C) Effect of miR-505-3p on the apoptosis of MDA-MB-231 cells. Compared with miR-NC group, *P<0.05.

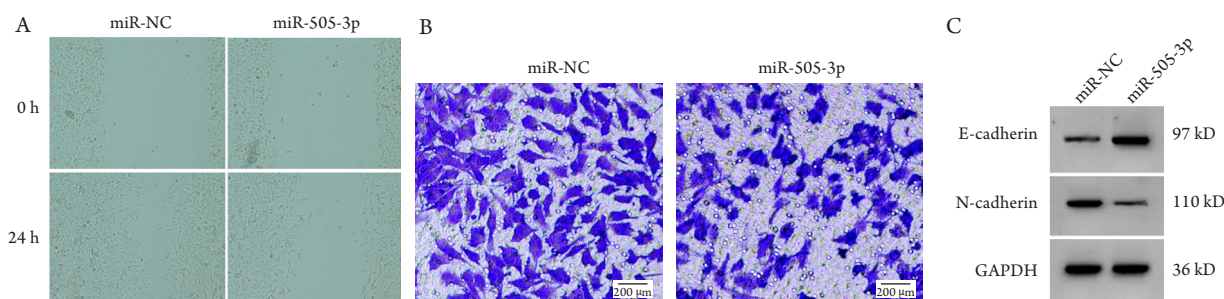


图6 MiR-505-3p对MDA-MB-231细胞迁移侵袭及E-cadherin、N-cadherin蛋白表达的影响

Figure 6 Effect of miR-505-3p on the migration and invasion of MDA-MB-231 cells and the expression of E-cadherin and N-cadherin proteins

(A) MiR-505-3p对MDA-MB-231细胞迁移的影响(× 100); (B) MiR-505-3p对MDA-MB-231细胞侵袭的影响(结晶紫染色, × 200); (C) MiR-505-3p对MDA-MB-231细胞E-cadherin、N-cadherin蛋白表达的影响。

(A) Effect of miR-505-3p on the migration of MDA-MB-231 cells (× 100); (B) Effect of miR-505-3p on the invasion of MDA-MB-231 cells (crystal violet staining, × 200); (C) Effect of miR-505-3p on the expression of E-cadherin and N-cadherin proteins in MDA-MB-231 cells.

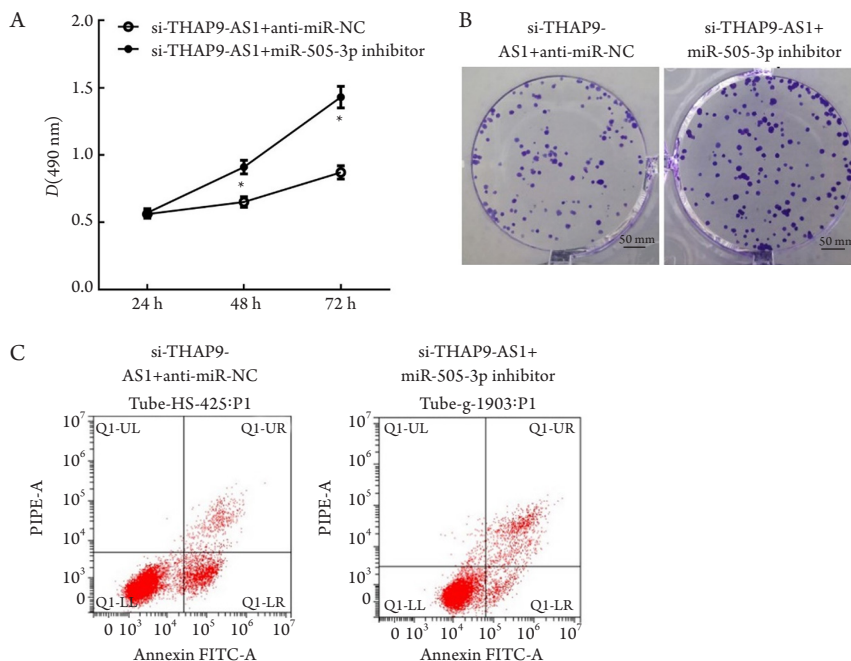


图7 抑制miR-505-3p对沉默lncRNA THAP9-AS1处理的MDA-MB-231细胞活性和凋亡的影响

Figure 7 Effect of miR-505-3p inhibition on the viability and apoptosis of MDA-MB-231 cells treated with silenced lncRNA THAP9-AS1

(A) 抑制miR-505-3p对沉默lncRNA THAP9-AS1处理的MDA-MB-231细胞活性的影响; (B) 抑制miR-505-3p对沉默lncRNA THAP9-AS1处理的MDA-MB-231细胞克隆形成的影响(吉姆萨染色, $\times 50$); (C) 抑制miR-505-3p对沉默lncRNA THAP9-AS1处理的MDA-MB-231细胞凋亡的影响。与si-THAP9-AS1+anti-miR-NC组相比, $*P < 0.05$ 。

(A) Effect of miR-505-3p inhibition on the viability of MDA-MB-231 cells treated with silenced lncRNA THAP9-AS1; (B) Effect of miR-505-3p inhibition on the clone formation of MDA-MB-231 cells treated with silenced lncRNA THAP9-AS1 (Giemsa staining, $\times 50$); (C) Effect of miR-505-3p inhibition on the apoptosis of MDA-MB-231 cells treated with silenced lncRNA THAP9-AS1. Compared with si-THAP9-AS1+anti-miR-NC group, $*P < 0.05$.

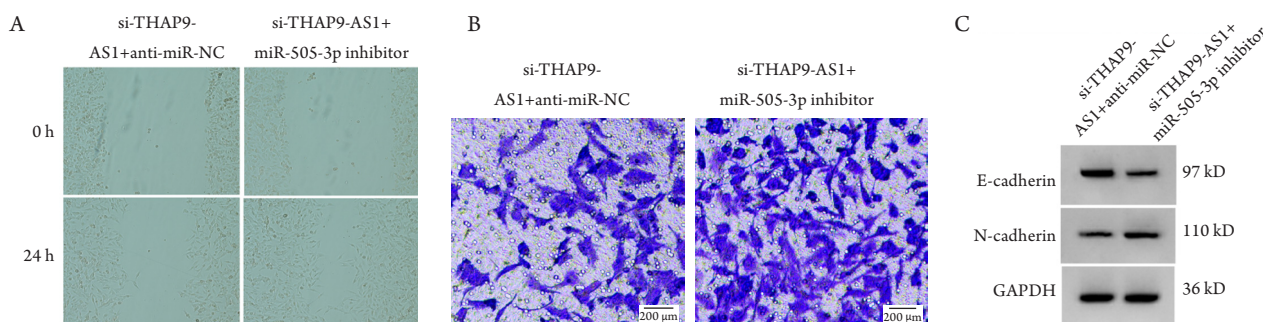


图8 抑制miR-505-3p对沉默lncRNA THAP9-AS1处理的MDA-MB-231细胞迁移侵袭及E-cadherin、N-cadherin蛋白表达的影响

Figure 8 Effect of inhibiting miR-505-3p on the MDA-MB-231 cells active, migration, invasion and the expression of E-cadherin and N-cadherin proteins treated with silent lncRNA THAP9-AS1

(A) 抑制miR-505-3p对沉默lncRNA THAP9-AS1处理的MDA-MB-231细胞迁移的影响($\times 100$); (B) 抑制miR-505-3p对沉默lncRNA THAP9-AS1处理的MDA-MB-231细胞侵袭的影响(结晶紫染色, $\times 200$); (C) 抑制miR-505-3p对沉默lncRNA THAP9-AS1处理的MDA-MB-231细胞E-cadherin、N-cadherin蛋白表达的影响。

(A) Effect of inhibiting miR-505-3p on the MDA-MB-231 cells migration treated with silent lncRNA THAP9-AS1 ($\times 100$); (B) Effect of inhibiting miR-505-3p on the MDA-MB-231 cells invasion treated with silent lncRNA THAP9-AS1 (crystal violet staining, $\times 200$); (C) Effect of inhibiting miR-505-3p on the expression of E-cadherin and N-cadherin proteins treated with silent lncRNA THAP9-AS1 in MDA-MB-231 cells.

表4 抑制miR-505-3p对沉默lncRNA THAP9-AS1处理的MDA-MB-231集落形成、凋亡、迁移及侵袭的作用($n=3$)Table 4 Effects of miR-505-3p inhibition on colony formation, apoptosis, migration and invasion of MDA-MB-231 treated with silenced lncRNA THAP9-AS1 ($n=3$)

组别	miR-505-3p	集落形成数/个	迁移距离/ μm	侵袭细胞数/个	E-cadherin	N-cadherin	凋亡率/%
si-THAP9-AS1+anti-miR-NC组	4.10 \pm 0.12	75.67 \pm 2.05	93.70 \pm 3.83	86.33 \pm 3.09	0.82 \pm 0.07	0.21 \pm 0.02	20.14 \pm 2.28
si-THAP9-AS1+miR-505-3p inhibitor组	1.34 \pm 0.05*	115.33 \pm 4.92*	167.74 \pm 6.39*	141.33 \pm 4.64*	0.26 \pm 0.02*	0.57 \pm 0.04*	13.58 \pm 1.39*
<i>t</i>	36.773	12.888	17.214	17.088	13.323	13.943	4.255
<i>P</i>	<0.001	<0.001	<0.001	<0.001	<0.001	<0.001	0.013

与si-THAP9-AS1+anti-miR-NC组相比, * $P<0.05$ 。

Compared with si-THAP9-AS1 + anti-miR-NC group, * $P<0.05$.

3 讨论

乳腺癌占女性癌症的30%, 且其发病率和病死率可能会继续升高^[9]。乳腺癌的治疗手段包括手术、放疗、化疗和靶向治疗等。靶向治疗在乳腺癌的治疗中显出独特的优势, 可提高患者的生存质量和生存率^[10-11]。研究^[12]证实lncRNA参与调控乳腺癌的进展, 如沉默lncRNA PART1可抑制乳腺癌细胞的增殖、迁移及侵袭。lncRNA FGF14-AS2通过使miR-205-5p变海绵状抑制乳腺癌的增殖、迁移、侵袭, 并诱导凋亡^[13]。lncRNA MORT在乳腺癌组织和细胞系中表达下调, 低水平的lncRNA MORT预示着较高的远处转移率, 过表达lncRNA MORT可抑制乳腺癌细胞的增殖率和迁移率, 而敲除lncRNA MORT则效果相反^[14]。在乳腺癌组织和细胞中, lncRNA MALAT1的高表达被认为是预后不良的预测因子, 下调lncRNA MALAT1可抑制乳腺癌的进展^[15]。沉默lncRNA DRAIC可抑制乳腺癌细胞增殖、迁移及侵袭, 促进凋亡^[16]。lncRNA PCAT6在乳腺癌组织和细胞系中过度表达, 其高表达反映乳腺癌患者不良预后, lncRNA PCAT6敲除在体外可抑制乳腺癌细胞增殖, 促进细胞凋亡及细胞周期发展, 在体内也抑制移植瘤生长^[17]。在胰腺导管腺癌患者中, lncRNA THAP9-AS1过表达与患者的不良预后显著相关; 在体外和体内, lncRNA THAP9-AS1均可促进胰腺导管腺癌细胞的生长^[18]。本研究结果显示: 乳腺癌组织中lncRNA THAP9-AS1表达水平被上调; 沉默lncRNA THAP9-AS1后乳腺癌MDA-MB-231细胞活性降低, 集落形成数和侵袭细胞数减少, 迁移距离缩小, 凋亡率升高, E-cadherin表达水平升

高, N-cadherin表达水平降低, 表明沉默lncRNA THAP9-AS1可抑制乳腺癌细胞增殖、迁移及侵袭, 并促进凋亡。

研究^[18]表明: lncRNA THAP9-AS1可作为竞争性内源RNAs调控miR-484表达影响胰腺导管腺癌细胞恶性行为。本研究结果显示lncRNA THAP9-AS1与miR-505-3p间存在互补核苷酸序列; 双荧光素酶报告基因实验显示, 在wt-THAP9-AS1中, 转染miR-505-3p的荧光素酶活性显著降低, 而mut-THAP9-AS1中转染miR-NC、miR-505-3p的光素酶活性无显著差异。MiR-505-3p在肿瘤进展中发挥抑癌基因作用。在胶质瘤中, miR-505-3p的表达降低, 与胶质瘤患者的临床预后差和预后有关; 过表达miR-505-3p抑制神经胶质瘤细胞增殖、迁移及侵袭^[19]。lncRNA KTN1-AS1通过负调控miR-505-3p促进神经胶质瘤细胞增殖和侵袭^[20]。lncRNA ZEB1-AS1通过调节miR-505-3p/TRIB2轴促进胰腺癌的进展^[21]。与上述研究结果相似, 本研究结果显示: miR-505-3p在乳腺癌组织中表达水平降低, 过表达miR-505-3p降低了乳腺癌细胞活性、集落形成数和侵袭细胞数, 增加凋亡率, 升高E-cadherin蛋白水平, 降低迁移距离以及N-cadherin蛋白水平, 说明miR-505-3p可抑制乳腺癌的增殖、迁移及侵袭, 并促进凋亡, 在乳腺癌中也起抑癌基因作用。进一步功能回复实验结果显示: 抑制miR-505-3p表达部分逆转了沉默lncRNA THAP9-AS1对MDA-MB-231细胞增殖、凋亡、迁移及侵袭的影响, 提示lncRNA THAP9-AS1可通过调控miR-505-3p影响MDA-MB-231细胞的增殖、凋亡和迁移侵袭能力。

综上所述, lncRNA THAP9-AS1在乳腺癌中

表达增加, 沉默lncRNA THAP9-AS1可通过靶向上调miR-505-3p表达抑制MDA-MB-231细胞增殖、迁移及侵袭, 并诱导细胞凋亡。沉默lncRNA THAP9-AS1对乳腺癌的影响仅限于体外实验, 其在体内的作用及其分子调控机制还有待进一步研究与验证。

参考文献

- 赵晶, 吴楠, 张世超, 等. 乳腺癌靶向治疗新进展[J]. 中华肿瘤杂志, 2020, 42(5): 353-361.
ZHAO Jing, WU Nan, ZHANG Shichao, et al. New advances in targeted therapy for breast cancer[J]. Chinese Journal of Oncology, 2020, 42(5): 353-361.
- Meisel JL, Venur VA, Gnant M, et al. Evolution of targeted therapy in breast cancer: where precision medicine began[J]. Am Soc Clin Oncol Educ Book, 2018, 38: 78-86.
- Yousefi H, Maheronnaghsh M, Molaei F, et al. Long noncoding RNAs and exosomal lncRNAs: Classification, and mechanisms in breast cancer metastasis and drug resistance[J]. Oncogene, 2020, 39(5): 953-974.
- Liang Y, Song X, Li Y, et al. LncRNA BCRT1 promotes breast cancer progression by targeting miR-1303/PTBP3 axis[J]. Mol Cancer, 2020, 19(1): 85.
- Wang C, Xie XX, Li WJ, et al. LncRNA DLEU1/microRNA-300/RAB22A axis regulates migration and invasion of breast cancer cells[J]. Eur Rev Med Pharmacol Sci, 2019, 23(23): 10410-10421.
- Jia W, Zhang J, Ma F, et al. Long noncoding RNA THAP9-AS1 is induced by Helicobacter pylori and promotes cell growth and migration of gastric cancer[J]. Onco Targets Ther, 2019, 12: 6653-6663.
- Zhao P, Guan H, Dai Z, et al. Long noncoding RNA DLX6-AS1 promotes breast cancer progression via miR-505-3p/RUNX2 axis[J]. Eur J Pharmacol, 2019, 865: 172778.
- Tang Y, Wu B, Huang S, et al. Downregulation of miR-505-3p predicts poor bone metastasis-free survival in prostate cancer[J]. Oncol Rep, 2019, 41(1): 57-66.
- Siegel RL, Miller KD, Jemal A. Cancer statistics, 2020[J]. CA Cancer J Clin, 2020, 70(1): 7-30.
- 侯虹丽, 侯基铭, 张凤栖, 等. 乳腺癌靶向治疗的现状及展望[J]. 世界最新医学信息文摘, 2019, 19(12): 56-57.
HOU Hongli, HOU Jiming, ZHANG Fengqi, et al. Current situation and prospect of breast cancer targeted therapy[J]. World Latest Medicine Information, 2019, 19(12): 56-57.
- 郑曼俐, 马金柱. 乳腺癌靶向药物的研究及临床应用进展[J]. 实用药物与临床, 2019, 22(3): 325-329.
ZHENG Manli, MA Jinzhu. Advances in research and clinical application of targeted molecular drugs for breast cancer[J]. Practical Pharmacy and Clinical Remedies, 2019, 22(3): 325-329.
- Zhang L, Zhang J, Ni C. Silencing of lncRNA PART1 inhibits proliferation, invasion and migration of breast cancer cells and promotes the efficacy of cisplatin in breast cancer cells[J]. Gen Physiol Biophys, 2020, 39(4): 343-354.
- Yang Y, Xun N, Wu JG. Long non-coding RNA FGF14-AS2 represses proliferation, migration, invasion, and induces apoptosis in breast cancer by sponging miR-205-5p[J]. Eur Rev Med Pharmacol Sci, 2019, 23(16): 6971-6982.
- Yang Q, Yang D, Zhu HB, et al. LncRNA MORT negatively regulates FGF1 to suppress malignant progression of breast cancer[J]. Eur Rev Med Pharmacol Sci, 2021, 25(20): 6179-6186.
- Shao J, Zhang Q, Wang P, et al. LncRNA MALAT1 promotes breast cancer progression by sponging miR101-3p to mediate mTOR/PKM2 signal transmission[J]. Am J Transl Res, 2021, 13(9): 10262-10275.
- Li S, Jia H, Zhang Z, et al. DRAIC promotes growth of breast cancer by sponging miR-432-5p to upregulate SLBP[J/OL]. Cancer Gene Ther, 2021, Epub ahead of print.
- Zhu Q, Wang S, Shi Y. LncRNA PCAT6 activated by SP1 facilitates the progression of breast cancer by the miR-326/LRRC8E axis[J]. Anticancer Drugs, 2022, 33(2): 178-190.
- Li N, Yang G, Luo L, et al. LncRNA THAP9-AS1 promotes pancreatic ductal adenocarcinoma growth and leads to a poor clinical outcome via sponging miR-484 and interacting with YAP[J]. Clin Cancer Res, 2020, 26(7): 1736-1748.
- Cheng Z, Wang B, Zhang C. MicroRNA-505-3p inhibits development of glioma by targeting HMGB1 and regulating AKT expression[J]. Oncol Lett, 2020, 20(2): 1663-1670.
- Mu Y, Tang Q, Feng H, et al. LncRNA KTN1-AS1 promotes glioma cell proliferation and invasion by negatively regulating miR-505-3p[J]. Oncol Rep, 2020, 44(6): 2645-2655.
- Wei G, Lu T, Shen J, et al. LncRNA ZEB1-AS1 promotes pancreatic cancer progression by regulating miR-505-3p/TRIB2 axis[J]. Biochem Biophys Res Commun, 2020, 528(4): 644-649.

本文引用: 王枝红, 刘红, 何楠, 杨海松. 沉默lncRNA THAP9-AS1对乳腺癌细胞增殖、凋亡、迁移及侵袭的影响[J]. 临床与病理杂志, 2022, 42(9): 2054-2062. doi: 10.3978/j.issn.2095-6959.2022.09.002
Cite this article as: WANG Zhihong, LIU Hong, HE Nan, YANG Haisong. Effect of silencing lncRNA THAP9-AS1 on the proliferation, apoptosis, migration and invasion of breast cancer cells[J]. Journal of Clinical and Pathological Research, 2022, 42(9): 2054-2062. doi: 10.3978/j.issn.2095-6959.2022.09.002